Синергетический синтез системы управления силовой установкой электромобиля

Константин А. Олейников

Институт компьютерных технологий и информационной безопасности Южный Федеральный Университет

koleynikov@sfedu.ru

Аннотация. В докладе рассматривается процедура синтеза регулятора силовой установки с электродвигателем синергетическими методами управления с учетом нелинейной динамики объекта управления для обеспечения заданных параметров и устойчивости в различных режимах движения.

Ключевые слова: электромобиль, силовая установка, электродвигатель, движение автомобиля, синергетическая теория управления, AKAP

І. Введение

В настоящее время во всём мире ведутся активные направленные повышение исследования, на эксплуатационных качеств современных автомобилей в составе которых присутствует электродвигатель электромобили, а также развитие систем управления, обеспечивающих комфортное и длительное вождение на одном заряде. Применение качественных алгоритмов управления обеспечивает большую устойчивость и безопасность движения, а также повышает качество управления силовой установкой (скорость, разгон, плавность хода) в динамических процессах движения и режимах И стабилизацию движения транспортного средства, особенно в экстремальных условиях при сильных возмущениях, при резких поворотах и на сложных типах поверхности типа дождя, льда, снега, движение в гору и прочих, дающих сложную нелинейную нагрузку и возмущения различного рода на электромобиль и силовую установку. С решением подобных трудностей трудом справляется c классическая теория управления, которой несвойственна работа с нелинейными моделями, вводя множественных допущения и упрощения, поэтому все большее развитие получаются новые законы и алгоритмы управления, одной из которых является синергетическая теория управления.

Использования синергетического подхода синтезе систем управления является достаточно новым и перспективным научным направлением, при которых используется нелинейная математическая объекта управления без упрощений и линеаризации, при котором получаются асимптотически устойчивые регуляторы, гарантирующие выполнение управленческих задач, таких как стабилизация величины, слежение, минимизации характеристики (например, энергопотребления) за счет использования в процессе синтеза специальных целевых функций инвариантов [1]–[4].

II. Система управления электромобилем

Система силовой установки электромобиля включает в себя: электродвигатель, аккумулятор, преобразователи энергии, шину постоянного тока, инвертор, а также различные датчики, отслеживающие работоспособность и функционал электромобиля.

Электродвигатель подбирается динамических характеристик электромобиля, главным образом это обеспечение требуемого крутящего момента двигателя, количество энергопотребление. Преимущественно в электромобилях используются двигатели переменного синхронные с постоянными магнитами и асинхронными Достижение короткозамкнутым ротором. требуемых динамических характеристик достигается путем использования векторных систем управления, обеспечивающие высокую точность управления скоростью и моментом двигателя даже на низких скоростях.

Однако высокое качество регулирование требует качественных алгоритмов управления и обусловлено сложностью настройки регуляторов. В стандартной системе векторного регулирования, ориентированного по полю на примере Siemens Transvector, основная проблема возникает в настройке двух ПИ регуляторов с перекрестной связью и компенсации этих связей [5]. Подобных трудностей не имеет синергетическая теория управления, которая исключает упрощение модели объекта и использует нелинейную модель как исходную, а также решающую одну из основных проблем классической теории управления – высокой размерности объекта с несколькими каналами управления, позволяя задавать инварианты равные количеству каналов управления, обеспечивая выполнение разных технологических задач управления.

Помимо сложных моделей и способов настройки управления электроприводом переменного тока существенными нелинейностями обладает и движением колесного транспорта по дорожному покрытию. Для того чтобы лучше понять процессы, рассмотрим математическую модель движения и динамику сил, действующих на электромобиль по прямолинейной дороге.

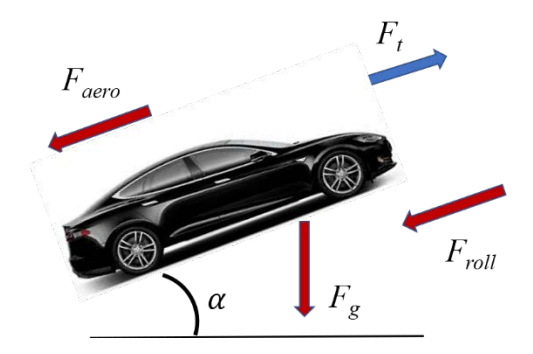


Рис. 1. Силы, действующие на электромобиль

Как показано на рис. 1 электромобиль начинает движение под действием следующих сил: силами сопротивления F_{aero} — аэродинамическая сила, F_{roll} — сила сопротивления качению F_g — сила тяжести и тяговыми силами F_r — сила тяги.

Согласно 2-му закону Ньютона, уравнение для продольной динамики автомобиля может быть представлено в виде:

$$F_x = F_t - F_{aero} - F_{roll} - F_g \tag{1}$$

Выражения для сил могут быть получены согласно [6], [7]:

$$F_{gara} = 0.5 \rho C_d A_E (V_x + V_{wind})^2,$$
 (2)

где ρ — плотность воздуха, C_d — аэродинамический коэффициент лобового сопротивления, V_x — скорость движения автомобиля , V_{wind} — скорость ветра, A_F — фронтальная область автомобиля.

Сила сопротивления качению F_{roll} описывает процессы деформации и восстановления шины с дорожным полотном в точке соприкосновения:

$$F_{roll} = k_r mg \cos(\alpha), \tag{3}$$

Как отмечалось ранее, главной движущей силой является сила тяги F_{ι} , возникающая в результате работы двигателя и взаимодействия колес с поверхностью дороги.

Эта сила зависит не только от параметров самого электромобиля, но также максимальный вектор тяги ограничен силой сцепления колеса с дорогой F_{sc} . Сила сцепления F_{sc} — это сила, которая препятствует скольжению колеса. Она зависит не только от скорости автомобиля V, но и от скорости скольжения колес V_{sk} относительно дорожного покрытия.

$$F_{t} = \mu_{k} \lambda m_{0} g \cos \alpha, \tag{4}$$

Сцепление характеризуется значением коэффициента сцепления μ_k , который равен значению из Таблицы I в зависимости от типа и состояния дорожного покрытия. В условиях, когда тяга превышает максимальное значение μ_k происходят буксование колес — сильное проскальзывание колес относительно дороги. Проскальзывание λ может быть выражено как [8]:

$$\lambda = \frac{V_{sk}}{\omega_k \cdot r_k},\tag{5}$$

где $V_{sk} = \omega_k \cdot r_k - V$ — скорость движения колес относительно поверхности дороги, $\omega_k = \omega_r \cdot n$, n — передаточное число редуктора от двигателя к колесам. Зависимость коэффициента сцепления μ_k от проскальзывания колеса λ мы рассматриваем как кусочно-непрерывную функцию, удовлетворяющую следующим условиям:

$$k_{\psi} = \begin{cases} 0,5\lambda & 0 \le \lambda \le 2; \\ (1 - 0,002041(\lambda - 2)) & ecnu \end{cases}$$
 \(\lambda \geq 2. \) (6)

Номинальные значения коэффициента сцепления μ_k могут быть определены из табл. I.

ТАБЛИЦА I. Значение коэффициентов сцепления в зависимости от типа покрытия

Тип дорожного покрытия	Коэффициент сцепления μ_{k}
Мокрый лед	0.1
Сухой лед / снег	0.2
Свободный песок	0.3 - 0.4
Сухая глина	0.5 - 0.6
Мокрый прокат Гравий	0.3 - 0.5
Сухой рулонный гравий	0.6 - 0.7
Мокрый асфальт	0.6
Мокрый бетон	0.6
Сухой асфальт	0.9
Сухой бетон	0.9

Тяговый момент может быть тогда выражен с использованием следующего выражения:

$$M_{sc} = r_k G_k \mu_k k_w, \tag{7}$$

Основной задачей контроля тяги двигателя является поддержание проскальзывания λ в желаемом диапазоне (от 0 до 2), что обеспечивает максимальное сцепление электромобиля с дорогой.

Система дифференциальных уравнений асинхронного двигателя с короткозамкнутым ротором с учетом динамики транспортного средства (1) и принимая во внимание все изменения из уравнений (2) – (7), итоговая система быть представлена следующим образом [9]:

$$\begin{split} \frac{di_{sx}}{dt} &= \frac{L_{m}r_{r}\psi_{r} - (r_{r}L_{m}^{2} + r_{s}L_{r}^{2})i_{sx} + L_{r}^{2}u_{sx}}{L_{r}L} + \omega_{r}i_{sy} + \frac{r_{r}L_{m}i_{sy}^{2}}{L_{r}\psi_{r}}; \\ \frac{di_{sy}}{dt} &= -\frac{L_{m}r_{r}\omega_{r}\psi_{r} - (r_{r}L_{m}^{2} + r_{s}L_{r}^{2})i_{sy} + L_{r}^{2}u_{sy}}{L_{r}L} - \omega_{r}i_{sx} - \frac{r_{r}L_{m}i_{sx}i_{sy}}{L_{r}\psi_{r}}; \\ \frac{d\psi_{r}}{dt} &= \frac{r_{r}L_{m}}{L_{r}}i_{sx} - \frac{r_{r}}{L_{r}}\psi_{r}; \\ \frac{d\omega_{r}}{dt} &= \frac{pmL_{m}}{2L_{r}J}\psi_{r}i_{sy} - \frac{M_{sc}}{J}; \\ \frac{dV}{dt} &= \frac{m_{0}g\mu_{s}k_{\psi} - k_{r}\cdot m_{0}g - 0.5\rho C_{d}A_{F}(V + V_{wind})^{2}}{m_{0}}, \end{split}$$

где i_{sx} и i_{sy} – проекции тока статора на оси X и Y соответственно, u_{sx} и u_{sy} – проекции напряжений статора на оси X и Y, L_r и L_s – индуктивности ротора

и статора, L_{m} — взаимная индуктивность, p — число пар полюсов, m — число фаз, M_{c} — момент сопротивления на валу двигателя, J — момент инерции двигателя, ψ_{r} — потокосцепление ротора, ω_{r} — частота вращения ротора, r_{r} и r_{s} — сопротивления ротора и статора. M_{c} представляет собой сумму всех моментов, приложенных к валу двигателя и обусловленных действием внешних сил, возникающих при движении электромобиля.

III. ПРОЦЕДУРА СИНТЕЗА СИНЕРГЕТИЧЕСКОГО РЕГУЛЯТОРА

В системе (8) каналами управления являются проекции напряжения статора u_{sx} и u_{sy} . Основными задачами построения регулятора являются стабилизация значений потокосцепления ротора $\psi_r \ (\psi_r = \psi_r^0)$ и частоты вращения ротора двигателя $\omega_r \ (\omega_r = \omega_r^0)$, где ω_r^0 и ψ_r^0 — желаемые значения, а также задача контроля тяги двигателя поддерживая значения проскальзывания λ в нужном диапазоне и стабилизации скорости движения электромобиля V.

В соответствии с процедурой метода аналитического конструирования агрегированных регуляторов (АКАР) теории синергетического управления необходимо определить первую пару макропеременных [10]:

$$\psi_1 = i_{sx} - \varphi_1; \ \psi_2 = i_{sy} - \varphi_2,$$
 (9)

где φ_1 и φ_2 – относительные функции, которые аналогичны требуемым значениям проекций тока статора в традиционных системах полеориентированного управления i_{sx}^* и i_{sy}^* и которые должны удовлетворять основным функциональным уравнениям (ОФУ):

$$T_1 \frac{d\psi_1}{dt} + \psi_1 = 0; T_2 \frac{d\psi_2}{dt} + \psi_2 = 0.$$
 (10)

Функции φ_1 и φ_2 могут рассматриваться как «внутренние» управления и являются продолжением процедуры синтеза, устанавливая «внутренние» инвариантные многообразия, которые определяют желаемые значения скорости вращения ротора и потокосцепления, декомпозируя систему. Если задача состоит в том, чтобы стабилизировать эти переменные в определенном значении, то эти инвариантные многообразия имеют простой и очевидный вид [10]:

$$\psi_3 = \omega_r - \omega_r^* = 0,$$

$$\psi_4 = \psi_r - \psi_r^* = 0.$$
(11)

В базовом АКАР задачи при управлении асинхронным двигателем состоят в том, чтобы стабилизировать потокосцепление и частоту вращения ротора в желаемых значениях (11). Однако в задаче управления двигателем в составе электромобиля нужны такие задачи, как поддержание скорости движения транспортного средства на участке дороги. И тогда выберем следующее инвариантное многообразие по стабилизации скорости движения электромобиля:

$$\psi_3 = \frac{F_t}{m} - k_1 (V_x - V_x^*) = 0, \tag{12}$$

IV. МОДЕЛИРОВАНИЕ СИСТЕМЫ

Для синтеза регулятора использовался пакет символьной математики Maple. Для моделирования и получения графиков переходных процессов использовался Matlab 2023.

Для эксперимента и отработки регулятора был выбран следующий режим движения электромобиля:

При 0 < t < 15 движение по прямой ($\alpha = 0$);

При 15 < t < 25 движение в уклон ($\alpha = +15^{\circ}$);

При 25 < t < 35 движение по прямой ($\alpha = 0$);

При 35 < t < 45 движение с уклона ($\alpha = -15^{\circ}$);

При 45 < t < 50 движение по прямой ($\alpha = 0$);

В процессе движения также менялся тип поверхности движения с сухого асфальта на гравий на всем промежутке движения электромобиля $\mu_{s0}=0.6-0.9$, $k_r=0.05-0.09$. Момент нагрузки M_c изменялся в различных диапазонах от 0 до 100 на участке движения.

Основной задачей является стабилизация скорости движения на уровне $V_{_{\rm X}}=60~$ км/ч с последующим ее удержанием на всем промежутке движения электромобиля.

Результаты работы регулирования и переходные процессы показаны на рис. 2, которые показывают достижение необходимой цели по скорости движения электромобиля.

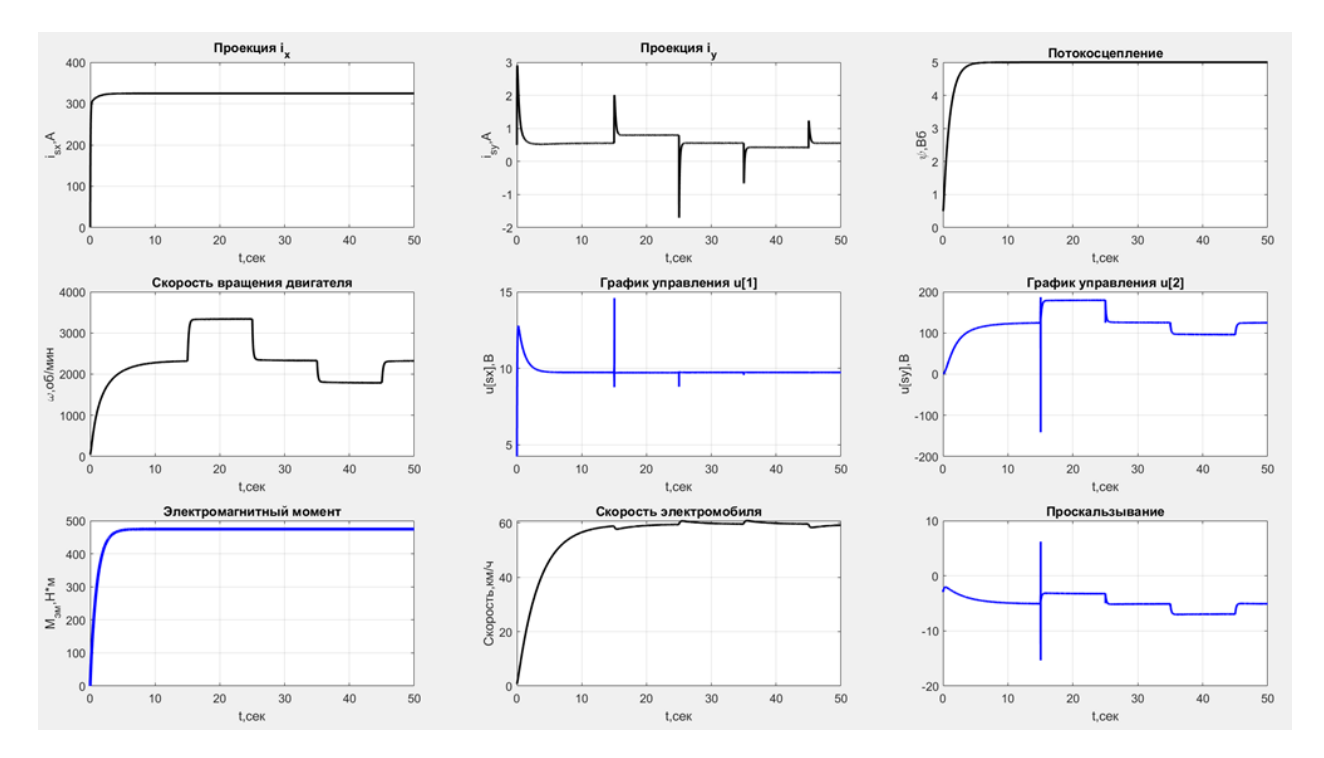


Рис. 2. Графики переходных процессов

ЗАКЛЮЧЕНИЕ

В статье были система управления силовой установки электромобиля c использованием синергетических методов. Рассмотрена математическая модель движения транспортного средства, асинхронного силовой электропривода В составе установки, определены основные зависимости. По выбранной модели осуществлен синтез методом **AKAP** синергетического регулятора, обеспечивающего основной технологической задачи выполнение поддержание заданной скорости движения транспортного средства. Полученные результаты показали выполнение поставленной технологической И перспективы построения сложных иерархических систем управления автомобилем на основе данного метода.

Список литературы

- [1] Колесников А.А. Синергетическая теория управления. М.: Энергоатомиздат, 1994. 344 с.
- [2] Колесников А.А. Синергетические методы управления сложными системами: теория системного синтеза. 2-е изд. М.: Либроком, 2012. 240 с.
- [3] Современная прикладная теория управления: Синергетический подход в теории управления. Таганрог: Изд-во ТРТУ. Ч. II. 2000. 559 с.
- [4] Современная прикладная теория управления: Новые классы регуляторов технических систем. Таганрог: Изд-во ТРТУ. Ч. III. 2000. 656 с.
- [5] F. Blaschke, "The principle of field-orientation as applied to the transvector closed loop control system for rotating-field machines: Siemens Rev, 1972, vol. 34, no. 1, pp. 217–220.
- [6] Jazar R.N. Vehicle dynamics: Theory and Applications. Springer. 2008.
- [7] Смирнов, Г. А. Теория движения колесных машин: Учебн. для студентов машиностроит. спец. вузов. М.: Машиностроение, 1990. 352 с.
- [8] Kwang Hee Nam. AC Motor Control and Electrical Vehicle Applications. CRC Press. 2019.
- [9] Копылов И.П. Математическое моделирование электрических машин. М.: Высшая школа, 1994. 327 с.
- [10] Олейников К.А. Синергетическая система стабилизации курсового движения автомобиля. Всероссийская научная конференция по проблемам управления в технических системах. 2023. Т.1. С. 65-68.